

Н. А. АМИРХАНОВА, Р. Р. ХАЙДАРОВ

ОПРЕДЕЛЕНИЕ ЛИМИТИРУЮЩЕЙ СТАДИИ ВЫСОКОСКОРОСТНОГО РАСТВОРЕНИЯ АЛЮМИНИЕВЫХ СПЛАВОВ С КЗ И УМЗ СТРУКТУРОЙ

Исследовались алюминиевые сплавы 1420, 1421, 5083 с КЗ и УМЗ структурами полученные методом РКУП. Снимались поляризационные кривые для установления лимитирующей стадии высокоскоростного анодного растворения алюминиевых сплавов с КЗ и УМЗ, структурой температурно-кинетическим методом С. В. Горбачева. Установлено, что при высокоскоростном растворении лимитирующей является электрохимическая стадия, так как эффективная энергия активации в активной и анодно-анионной области составляет более 20 кДж/моль. УМЗ; КЗ; алюминиевый сплав; высокоскоростное анодное растворение; поляризационная кривая; лимитирующая стадия

Процесс анодного растворения металлов протекающий на границе раздела фаз «теле-раствор», является типично гетерогенным процессом, состоящим из ряда последовательных стадий.

Целью исследований являлось установление лимитирующей стадии, позволяющей определить не только механизм высокоскоростного анодного растворения, но и давящую возможность сознательно управлять этим процессом с целью его интенсификации.

МЕТОДИКА ЭКСПЕРИМЕНТА

Экспериментальные исследования по кинетике анодного поведения алюминиевых сплавов в растворах нейтральных солей для определения механизмов их растворения и выявления лимитирующей стадии проводились с использованием вращающегося дискового электрода и электрохимической трехэлектродной ячейки с водяной рубашкой, изготовленной из молибденового стекла. В качестве электрода сравнения использовался хлорсеребряный электрод ($\phi = 0,256$ В).

Электроды из алюминиевых сплавов 1420, 1421, 5083 с КЗ и УМЗ структурами, полученные методом РКУП [1], предварительно перед каждым электрохимическим измерением зачищались наждачной бумагой с уменьшением степени зернистости, полировались алмазной пастой до блеска, обезжиривались. Вращение электрода осуществлялось с помощью синхронного электродвигателя со скоростью 1000 об./мин.

Температурно-кинетическим методом снимались поляризационные кривые в трех электролитах разной природы: 8%NaCl, 9%NH₄NO₃, 14%NaNO₃, но одинаковой электропроводности ($\chi = 1000 \text{ Ом} \cdot \text{см}^{-1}$) при трех различных температурах электролита 30, 40, 50°C со скоростью наложения потенциала 5·10⁻² В/с на потенциостате ПИ-50-1.1. Строились кривые логарифма плотности тока от потенциала [2]. По данным поляризационных кривых рассчитывалась эффективная энергия активации по методу С. В. Горбачева [3].

РЕЗУЛЬТАТЫ ЭКСПЕРИМЕНТА

На рис. 1–3 представлены поляризационные потенциодинамические кривые в вышеуказанных электролитах для алюминиевого сплава 1421 с КЗ и УМЗ структурой.

Как видно из рис. 1, ионизация алюминиевого сплава 1421 как с КЗ, так и с УМЗ структурой протекает в области активного анодного растворения. На рис. 2, 3 показано, что ионизация алюминиевого сплава происходит лишь в анодно-анионной области при потенциале положительнее 1,7 В. Как видно из рисунков, с повышением температуры происходит закономерное увеличение плотностей поляризующих токов. После РКУП прессования алюминиевых сплавов плотности поляризующих токов для сплавов с УМЗ структурой значительно выше, чем плотности поляризующих токов для сплавов с КЗ структурой [4]. В области активного анодного растворения (рис. 1) при одних и тех же потенциалах с повышением температуры, алюми-

ниевые сплавы с УМЗ структурой ионизируются с более высокими плотностями тока. В анодно-анионной области (рис. 2, 3), также наблюдается с повышением температуры электролита для алюминиевого сплава с УМЗ структурой повышение плотности тока, вследствие изменения дефектности пассивирующих пленок, особенно при подтравливании пассивирующих пленок в электролите на основе 9% NH_4NO_3 .

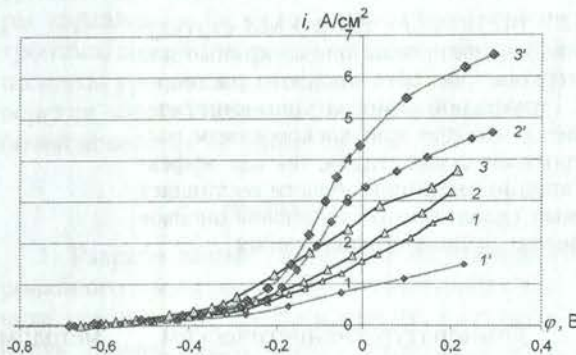


Рис. 1. Поляризационные потенциодинамические кривые при различных температурах для алюминиевого сплава 1421 в электролите на основе 8%NaCl (1, 1' – 30°C; 2, 2' – 40°C; 3, 3' – 50°C (◆ – УМЗ структура; △ – К3 структура)

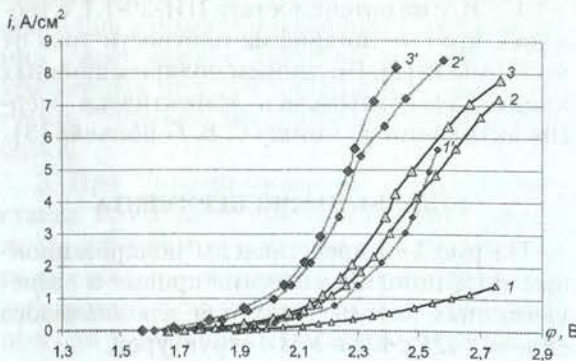


Рис. 2. Поляризационные потенциодинамические кривые при различных температурах для алюминиевого сплава 1421 в электролите на основе 9% NH_4NO_3 (1, 1' – 30°C; 2, 2' – 40°C; 3, 3' – 50°C (◆ – УМЗ структура; △ – К3 структура)

Для суждения о кинетической стадии процесса определялись значения эффективной энергии активации. На поляризационных кривых при потенциале 0,0 В для электролита на основе 8% NaCl и отвечающей области активного анодного растворения определялись плотности поляризующего тока при трех температурах электролита (30°C, 40°C, 50°C) и температурно-кинетическим методом Горбачева вычислялась эффективная энергия активации (E_a) для алюминиевых сплавов с К3 и

УМЗ структурами. В электролитах на основе 14% NaNO_3 и 9% NH_4NO_3 для оценки эффективной энергии активации был выбран потенциал 2,1 В который отвечает области анодно-анионного растворения.

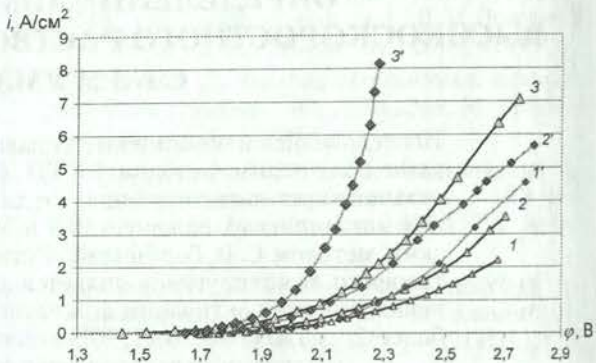


Рис. 3. Поляризационные потенциодинамические кривые при различных температурах для алюминиевого сплава 1421 в электролите на основе 14% NaNO_3 (1, 1' – 30°C; 2, 2' – 40°C; 3, 3' – 50°C (◆ – УМЗ структура; △ – К3 структура)

На рис. 4–6 приведены гистограммы значений эффективной энергии активации для алюминиевых сплавов 1420, 1421, 5083.

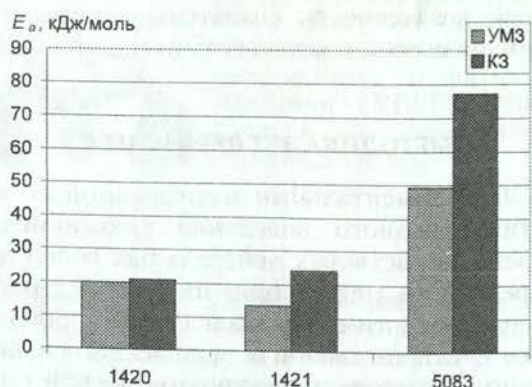


Рис. 4. Эффективные энергии активации E_a для алюминиевых сплавов 1420, 1421, 5083 с К3 и УМЗ структурами при поляризации в растворе 8%NaCl при $\phi = 0,0$ В

Как видно из рис. 4, при ионизации алюминиевого сплава в активной анодной области для всех трех сплавов обнаружена общая закономерность: сплавы с К3 структурой ионизируются при большей эффективной энергии активации, чем сплавы с УМЗ структурой. Более низкие значения эффективной энергии активации обусловлены тем, что поверхность сплава в результате адсорбции хлорид

ионов на дефектах структуры, которых значительно больше в УМЗ состоянии ионизируется с меньшими энергетическими затратами, чем сплав с КЗ структурой, где количество дефектов на порядок меньше. С увеличением количества легирующих компонентов в сплаве 1421 и особенно сплаве 5083 активное анондое растворение происходит с большими энергетическими затратами особенно для КЗ структур, так для алюминиевого сплава 1420 эффективная энергия активации составляет 20,9 кДж/моль, для алюминиевого сплава 1421 $E_a = 24,1$ кДж/моль, для сплава 5083 $E_a = 77$ кДж/моль.

В целом, сопоставляя величины эффективной энергии активации при ионизации сплава в 8%NaCl, вычисленные температурно-кинетическим методом, можно установить, что лимитирующей стадией является электрохимическая.

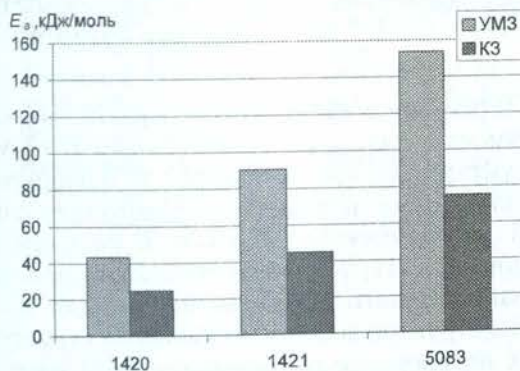


Рис. 5. Эффективные энергии активации E_a алюминиевых сплавов 1420, 1421, 5083 с КЗ и УМЗ структурами при поляризации в растворе 14%NaNO₃ при $\phi = 2,1$ В

Рассмотрим влияние природы электролита пинката натрия (рис. 5) на высокоскоростное растворение алюминиевых сплавов в КЗ и УМЗ состояниях. При потенциалах порядка двух вольт, все три алюминиевых сплава ионизируются в анодно-анионной области, при этом сплавы с УМЗ структурой ионизируются при значениях эффективной энергии активации практически в 2 раза большей, чем эффективная энергия активации для алюминиевых сплавов с КЗ структурой. Повышенные значения энергии активации для алюминиевых сплавов с УМЗ структурой обусловлены, очевидно, тем, что пассивирующая пленка имеет адсорбционный характер. Пленка, образованная в области пассивации, вследствие адсорбции гидроксил ионов, на дефектах которых значительно больше УМЗ структуры, является более совершенной, что затрудняет диффузионные процессы к поверхности

му слою. Чем больше легирующих компонентов в сплаве (сплавы 1421, 5083), тем более совершенна пассивирующая пленка, поэтому сопротивление к процессам диффузии в поверхностном слое увеличивается.

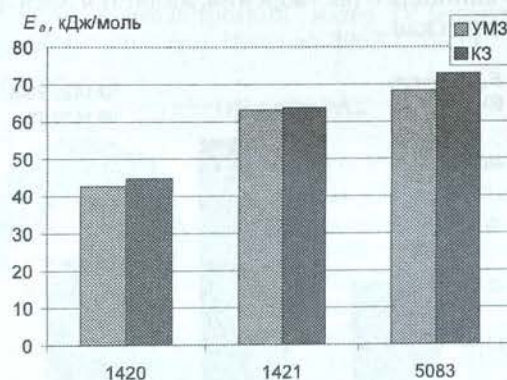


Рис. 6. Эффективные энергии активации E_a алюминиевых сплавов 1420, 1421, 5083 с КЗ и УМЗ структурой при поляризации в растворе 9%NH₄NO₃ при $\phi = 2,1$ В

Несколько отличная картина наблюдается при поляризации в электролите на основе 9% NH₄NO₃, который способствует в результате гидролиза понижению значения pH раствора, что приводит к уменьшению толщины пассивирующего слоя и нарушения ее сплошности за счет химического подтравливания. При поляризации алюминиевых сплавов 1420, 1421, 5083 влияние структуры сплавов, связанное с различием концентрации дефектов структуры и величины протяженности зерен, а также границ зерен, оказывается в меньшей степени, так как ионизация идет преимущественно в анодно-анионной области, поэтому эффективная энергия активации почти в 2 раза больше, чем в 8% NaCl. Вследствие закисления, обусловленного гидролизом, 9% NH₄NO₃, поверхностно-пассивирующая пленка как для сплавов с УМЗ, так и для сплавов с КЗ структурой, очевидно, имеет соизмеримое количество пор, так как эффективная энергия активации для всех трех сплавов как в КЗ, так и УМЗ состояниях соизмерима. В алюминиевом сплаве 1420, где содержится наименьшее количество легирующих компонентов, пассивирующая пленка менее совершенна, поэтому эффективная энергия активации по значениям значительно ниже, чем для сплавов 1421 и 5083.

Таким образом, при использовании раствора 9% NH₄NO₃ различие высокоскоростного растворения алюминиевых сплавов с КЗ и УМЗ структурой при потенциале порядка 2 В почти не оказывается на кинетике высокоскоростного растворения.

Полученные значения эффективной энергии активации как для КЗ, так и для УМЗ структуры свидетельствуют о том, что лимитирующей стадией, несмотря на разный механизм активного анодного растворения и анодно-анионного растворения, является электрохимическая.

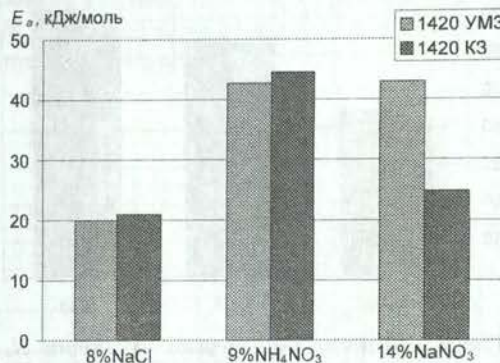


Рис. 7. Значения эффективной энергии активации E_a алюминиевого сплава 1420 с КЗ и УМЗ структурой в электролитах с одинаковой удельной электропроводностью ($\chi = 1000 \text{ Ом} \times \text{см}^{-1}$) при $\phi = 2,1 \text{ В}$ для 14%NaNO₃ и 9%NH₄NO₃; $\phi = 0,0 \text{ В}$ для 8%NaCl

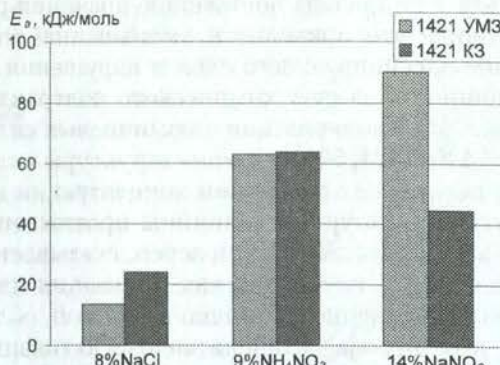


Рис. 8. Значения эффективной энергии активации E_a алюминиевого сплава 1421 с КЗ и УМЗ структурой в электролитах с одинаковой удельной электропроводностью ($\chi = 1000 \text{ Ом} \times \text{см}^{-1}$) при $\phi = 2,1 \text{ В}$ для 14%NaNO₃ и 9%NH₄NO₃; $\phi = 0 \text{ В}$ для 8%NaCl

Как видно из рис. 7, значения эффективной энергии активации для алюминиевого сплава 1420 невелики по значениям и свидетельствуют о том, что лимитирующей стадией высокоскоростного растворения как в растворах хлорида натрия, так и в растворах на основе NO₃⁻ ионов, является электрохимическая стадия, хотя механизм высокоскоростного растворения в хлоридах и в нитратах резко отличен.

Энергетические затруднения в активной и анодно-анионной областях во многом связаны с наличием дефектов структуры, при ис-

пользовании электролита на основе хлорида натрия поверхность свободна от оксидных пленок, практически не окислена, а в анодно-анионной области лимитирующая стадия зависит от дефектности барьерного слоя.

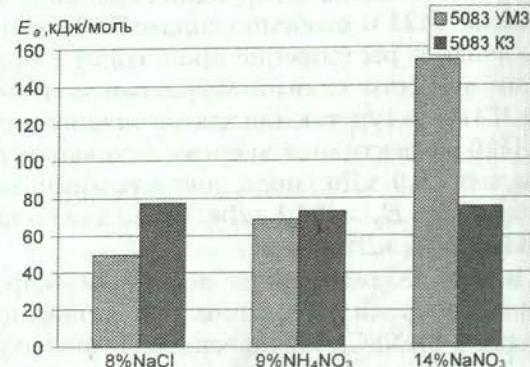


Рис. 9. Значения эффективной энергии активации E_a алюминиевого сплава 5083 с КЗ и УМЗ структурой в электролитах с одинаковой удельной электропроводностью ($\chi = 1000 \text{ Ом} \times \text{см}^{-1}$) при $\phi = 2,1 \text{ В}$ для 14%NaNO₃ и 9%NH₄NO₃; $\phi = 0 \text{ В}$ для 8%NaCl

В растворах нитратов барьерный слой оксидов является более совершенным для УМЗ структур, так как все дефекты блокируются гидроксилами с образованием ровной пассивирующей пленки. В растворе на основе 9% NH₄NO₃ эффективная энергия активации практически соизмерима для КЗ и УМЗ структур вследствие больших структурных недостатков пассивирующей пленки, за счет закисления электролита в результате гидролиза.

Совокупность данных при исследовании влияния температуры на ход потенциостатических и потенциодинамических поляризационных кривых для разных алюминиевых сплавов в широком диапазоне потенциалов в растворах различных электролитов позволяет сделать следующие выводы.

Процесс активного анодного растворения в растворах на основе хлорида натрия происходит при отрицательных значениях электродных потенциалов с меньшими кинетическими затруднениями. Лимитирующей стадией согласно значениям эффективной энергии активации является электрохимическая.

В связи с увеличением количества дефектов для алюминиевых сплавов с УМЗ структурой, данные сплавы ионизируются при меньших значениях эффективной энергии активации, чем в пассивирующих электролитах.

В области анодно-анионной активации при поляризации сплава в растворах 14% NaNO₃ и 9% NH₄NO₃ одинаковой элек-

тропроводности выявлено, что сплавы с УМЗ структурой покрываются менее дефектной равномерной пассивирующей пленкой, наличие которой обуславливает сдерживание процесса высокоскоростного растворения.

Показано, что при поляризации алюминиевого сплава в растворе 9% NH_4NO_3 поверхность барьерный слой имеет более дефектную структуру вследствие подкисления при анодного слоя, поэтому эффективная энергия активации для КЗ и УМЗ структур является соизмеримой.

Установлено, что при ионизации сплавов в растворах как нитратов натрия, так и нитратов аммония лимитирующей стадией является электрохимическая.

СПИСОК ЛИТЕРАТУРЫ

1. Валиев, Р. З. Наноструктурные материалы, полученные интенсивной пластической деформацией / Р. З. Валиев, И. В. Александров. М.: Логос, 2000. 272 с.
2. Акимов, Г. В. Основы учения о коррозии и защите металлов / Г. В. Акимов. М.: Металлургиздат, 1946. 463 с.
3. Атанасянц, А. Г. Электрохимическое изготовление деталей атомных реакторов / А. Г. Атанасянц. М.: Энергоатомиздат, 1987. 4 с.

4. Амирханова, Н. А. Исследование влияния интенсивных пластических деформаций на высокоскоростное анодное растворение различных материалов / Н. А. Амирханова, А. Г. Балынов, Е. Ю. Черняева, С. Л. Адашева // Современные электрохимические технологии в машиностроении : матер. IV междунар. науч.-практ. сим. Иваново, 2003. С. 5–15.

ОБ АВТОРАХ



Амирханова Наиля Анваровна, проф., зав. каф. общей химии. Дипл. химик (КГУ, 1962). Канд. хим. наук, д-р техн. наук по технологии электрохимических производств (защ. М., ВИАМ, 1985). Иссл. в обл. электрохимической обработки.



Хайдаров Раушан Ралитович, асс. той же каф. Дипл. химик, преп. химии (БГУ, 2002). Готовит дис. по изучению коррозии и электрохим. поведения ультрамелкозерни сплавов алюминия.